

КРАТКИЕ СООБЩЕНИЯ

УДК 547.597:539.26

АБСОЛЮТНАЯ КОНФИГУРАЦИЯ 3-АЦЕТИЛБЕТУЛИНОВОЙ КИСЛОТЫ

Е.М. Сулеймен¹, К. Ван Хеке², Л. Ван Меервельт²,
В.М. Дебурграфф², В. Дехаен²¹Евразийский национальный университет им. Л.Н. Гумилева, Астана, Казахстан

E-mail: syerlan75@yandex.ru

²Католический университет г. Леувена, Бельгия

E-mail: Kristof.VanHecke@chem.kuleuven.be

Статья поступила 16 апреля 2012 г.

Методом рентгеноструктурного анализа определена абсолютная конфигурация 3-ацетоксибетулиновой кислоты.

Ключевые слова: бетулиновая кислота, 3-ацетоксибетулиновая кислота, рентгеноструктурный анализ.

Бетулиновая кислота **1**, производное бетулина, имеет широкий спектр фармакологических свойств: противовоспалительных, ранозаживляющих, гепатопротекторных, антивирусных и противоопухолевых [1–3]; некоторые производные бетулина эффективны в отношении вируса иммунодефицита человека [4].

В данной работе мы представляем абсолютную конфигурацию 3-ацетоксибетулиновой кислоты **2**, которая получена взаимодействием уксусного ангидрида в пиридине [5]. Спектральные данные **2** оказались идентичными описанным в литературе [6].

Соединение **2** охарактеризовано в хиральной пространственной группе $P2_12_12_1$ (№ 19) с одной молекулой в асимметрическом центре и одной молекулой растворителя хлороформа (рис. 1).

Циклопентановое кольцо расположено в твист-конверт-конформации при C22—C23, в то время как циклогексановые кольца расположены в конформации кресла.

Ацетокси-группа находится в экваториальном положении к атому C3. Торсионный угол C2—O2—C3—C4 равен 118,9(3)°. Изопропильная группа также расположена экваториально на атоме C27 циклопентанового кольца. Торсионный угол C32—C30—C27—C28 равен 78,1(5)°. Другие подобные структуры производных бету-

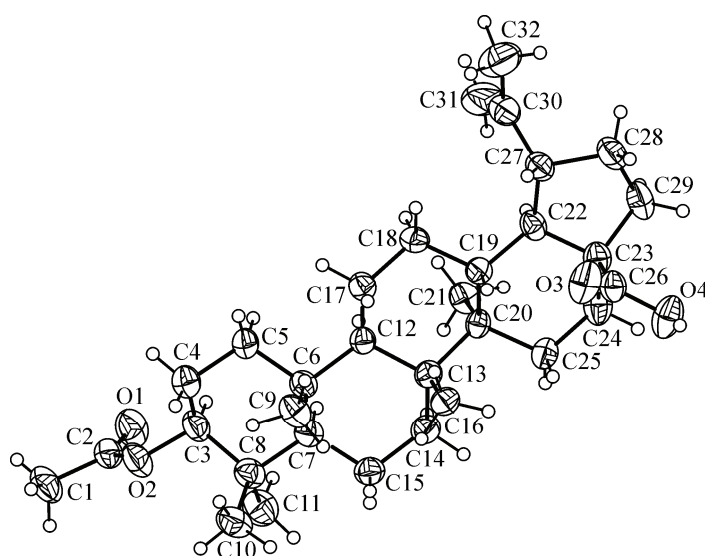


Рис. 1. Молекулярная и кристаллическая структура **2** на основании РСА. Расположение эллипсоидов указано с 40%-ой вероятностью. Молекула хлороформа не показана

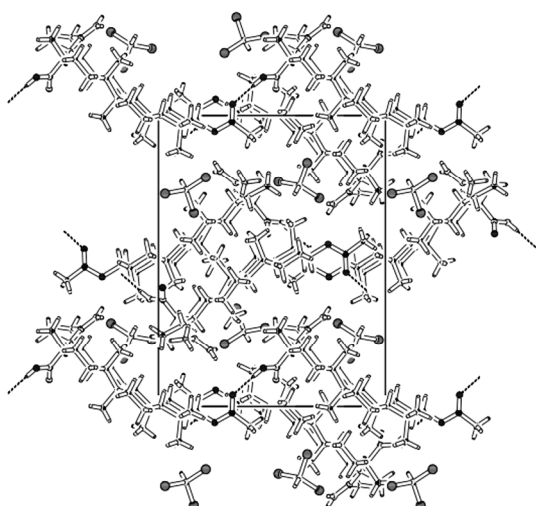


Рис. 2. Структурная упаковка кристаллов соединения **2** в плоскости (100). Молекулы соединены вдоль направления [010] посредством водородных связей

линовой кислоты, содержащих ацетокси-группу в том же положении, описаны в [7, 8].

Наблюдаются внутримолекулярные водородные связи между группой О—Н карбоксила и С=О ацетокси-группы симметрично молекул (О(Н)...О с расстоянием 2,682(4) Å), соединяющих молекулы вместе в направлении [010] (рис. 2).

Определена абсолютная конфигурация структуры и следующие атомы определены как C3(*S*), C6(*R*), C7(*R*), C12(*S*), C13(*R*), C19(*R*), C20(*R*), C23(*S*), C27(*R*).

Экспериментальная часть. 3-Ацетоксибетулиновая кислота. 500 мг (1,1 ммоль) бетулиновой кислоты растворяли в 0,350 мл пиридина (4,38 ммоль) и прибавляли 4,76 мл (50,4 ммоль) уксусного ангидрида. Смесь выдерживали 24 ч при комнатной температуре и затем смешивали с 20 мл ледяной воды. Смесь перемешивали в течение 20 мин при 0 °С. Продукт отфильтровали и остаток разделяли на силикагеле, используя смесь растворителей гептан и дихлорметан (2/8). После перекристаллизации получили белые кристаллы (437 мг, 80 %).

Выход: 80 %.

ESI: m/z 499 (M), m/z 500 (M+H).

HRMS: C₃₂H₅₀O₄. Вычислено: 498,37091 Найдено: 498,37278.

ИК: 2948 (CH *sp*³), 1722 (C=O), 1687 (C=C), 1246 (C—O).

¹H ЯМР: (300 МГц, CDCl₃, ppm): δ 4,75 (s, 1H, H^{29a}), 4,61 (s, 1H, H^{29b}), 4,54—4,53 (m, 1H, H³), 3,08—2,94 (m, 1H, H¹⁹), 2,33—1,91 (m, 7H), 2,04 (s, 3H, H³²), 1,80—1,14 (m, 21H), 0,99—0,76 (m, 18H), 0,97 (s, 3H, CH₃), 0,84 (s, 3H, CH₃), 0,84 (s, 3H, CH₃).

¹³C ЯМР: (100 МГц, CDCl₃, ppm): δ 181,49 (C28); 171,09 (C31); 150,39 (C20); 109,76 (C29); 80,95 (C3); 56,36 (C17); 55,40 (C5); 55,38 (C9); 49,24 (C18); 46,93 (C19); 42,41 (C14); 40,68 (C8); 38,39 (C1); 38,36 (CH₂); 37,79 (CH₂); 37,10 (CH₂); 36,80 (CH₂); 34,22 (C7); 30,54 (CH₂); 29,67 (CH₂); 28,79 (CH₂); 27,94 (CH₂); 25,43 (C2); 23,70 (CH₂); 21,34 (C32); 20,83 (C11); 19,34 (CH₂); 18,15 (C6); 16,47; 16,18; 16,03 (C23, C26, C25); 14,65 (C27).

Рентгеноструктурный анализ. Соединение **2** кристаллизовалось из смеси растворителей гептан/дихлорметан (2/8) при комнатной температуре.

Данные рентгеноструктурного анализа получены на дифрактометре SMART 6000, оборудованным детектором CCD, используя облучение CuK_α (λ = 1,54178 Å) и φ и ω сканы. Данные были интерпретированы и интегрированы программой SAINT фирмы Bruker [9]. Структура была решена прямым методом и обчислена методом наименьших квадратов полной матрицы F^2 , используя пакет программы SHELXTL [2]. Неводородные атомы были пересчитаны анизотропно и водородные атомы в подвижном режиме и изотропные температурные факторы, установленные в 1,2 раза $U(eq)$ родительских атомов (1,5 раза для метильных и гидроксильных групп). CCDC 876596 содержит дополнительные кристаллографические данные для этой статьи и они могут быть свободно получены через www.ccdc.cam.ac.uk/conts/retrieving.html (или в Cambridge Crystallographic Data Centre, 12, Union Road, Cambridge CB2 1EZ, UK; fax: +44-1223-336033; или deposit@ccdc.cam.ac.uk).

Кристаллические данные соединения 2. C₃₃H₅₁Cl₃O₄, $M = 618,09$, орторомбическая, $P2_12_12_1$ (номер 19), $a = 11,651(1)$, $b = 14,835(2)$, $c = 19,131(2)$ Å, $V = 3306,5(6)$ Å³, $T = 293(2)$ К, $Z = 4$, $\rho_{calc} = 1,242$ г/см³, $\mu(CuK\alpha) = 2,775$ мм⁻¹, $F(000) = 1328$, размер кристалла 0,4×0,4×0,3 мм, 6249 независимых отражений ($R_{int} = 0,0877$). Конечный $R = 0,0569$ для 4863 отражений с $I > 2\sigma(I)$ и $wR2 = 0,1650$ для всех данных. Абсолютная конфигурация структуры была определена, указывая заключительный Flack параметр 0,01(3) [11].

СПИСОК ЛИТЕРАТУРЫ

1. Pisha E., Chai H., Lee I.S., Chagwedera T.E., Farnsworth N.R., Cordell G.A., Beecher C.W., Fong H.H., Kinghorn A.D., Brown D.M. // *Nat. Med.* – 1995. – **1**. – P. 1046.
2. Sami A., Taru M., Salme K., Jari Y-K. // *Eur. J. Pharm. Sci.* – 2006. – **29**. – P. 1 – 13.
3. Mukherjee R., Kumar V., Srivastava S.K., Agarwal S.K., Burman A.C. // *Anticancer Agents Med. Chem.* – 2006. – **6**. – P. 271.
4. Jeong H.J., Chai H.B., Park S.Y., Kim D.S. // *Bioorg. Med. Chem. Lett.* – 1999. – **9**. – P. 1201.
5. Kim J.Y., Koo H.-M., Kim D.S.H.L. // *Bioorg. Med. Chem. Lett.* – 2001. – **11**. – P. 2405 – 2408.
6. Thibeault D., Gauthier C., Legault J., Bouchard J., Dufour P., Pichette A. // *Bioorg. Med. Chem.* – 2007. – **15**. – P. 6144 – 6157.
7. Mohamed I.E., Choudhary M.I., Ali S., Anjum S., Atta-ur-Rahman // *Acta Crystallogr.* – 2006. – **E62**. – P. o1352 – o1354.
8. Ding W.-M., Jing L.-J., Yu T., Wang Y., Yan X.-F. // *Acta Crystallogr.* – 2009. – **E65**. – P. o1982.
9. SAINT, Manual Version 5/6.0, Bruker Analytical X-ray Systems Inc.: Madison, Wisconsin, 1997.
10. SHELXTL-NT, Manual Version 5.1, Bruker Analytical X-ray Systems Inc.: Madison, Wisconsin, 1997.
11. Flack H.D. // *Acta Crystallogr.* – 1983. – **A39**. – P. 876 – 881.